Deep Learning sobre dados meteorológicos tabulares: Baseline

Matheus Ataide, 147375 | Mauricio Araujo, 184477 | Raysa Benatti, 176483

1 Introdução

O presente trabalho tem como proposta aplicar técnicas de deep learning para previsão em séries temporais de dados meteorológicos tabulares (estruturados). Nesta etapa, realizamos as seguintes tarefas:

- Troca da base de dados definida na etapa anterior e coleta de nova base de dados, conforme explicado na Seção 2;
- Pré-processamento dos dados, conforme explicado na Seção 2.1;
- Implementação de um modelo de rede neural recorrente LSTM (Long Short-Term Memory) básico sobre os dados, conforme explicado na Seção 3;
- Análise dos resultados, descritos na Seção 4;
- Discussão sobre o experimento e definição de incrementos a serem feitos para a versão final do proejeto, conforme explicado na Seção 5.

O código cuja implementação este relatório descreve pode ser acessado aqui.

2 Base de Dados

Originalmente, o objetivo do grupo era trabalhar com a base de dados climáticos (série histórica) disponibilizada pelo INMET (Instituto Nacional de Meteorologia) via requisição. Havíamos coletado arquivos referentes a três estações meteorológicas da cidade de São Paulo (Horto Florestal, Mir. de Santana e Iag), o que totalizava aproximadamente 150 mil instâncias. Além disso, pretendíamos gerar predições de sete diferentes features, descritas na proposta inicial.

A exploração desses dados, contudo, revelou dificuldades: muitas das instâncias dessa base estão preenchidas parcial ou totalmente com NaN (not a number), o que inviabilizou a realização do experimento. Contudo, decididos a seguir com o objetivo de trabalhar no domínio ambiental e explorar ferramentas de deep learning sobre dados tabulares, optamos por usar outra base de dados meteorológicos.

Coletamos, então, o arquivo de valores absolutos de métricas climáticas mensais da estação convencional do Posto Meteorológico de Piracicaba, SP [1]. O arquivo traz, para todos os meses desde 1917, os valores de onze *features* medidas na estação: temperaturas máxima e mínima, chuvas diárias máxima e mínima, número de dias com chuva, umidades relativas máxima e mínima, velocidades instantâneas diárias máxima e mínima, velocidade média instantânea mensal e direção predominante do vento. Para máximas

(mínimas), o registro considera o maior (menor) valor observado no mês. Optamos por trabalhar somente com os valores de temperaturas máximas e mínimas, por três motivos: relevância da métrica em análises climáticas; suficiência para testar e avaliar nosso modelo; constância de observação, com baixa quantidade de entradas vazias nessa base — ao contrário de outras métricas cujas observações começaram a ser registradas mais tardiamente.

O arquivo tem 1235 instâncias: uma para cada um dos doze meses, durante 103 anos, exceto para 2020 (que tem registros até novembro). Apesar de muito menor que a base do INMET, o uso do conjunto de dados de Piracicaba se mostrou mais adequado devido a sua consistência, tendo poucas entradas vazias — o que refletiu nos resultados que descreveremos adiante.

2.1 Pré-processamento

A aplicação do modelo escolhido para previsão em séries temporais exige que os dados estejam ordenados cronologicamente. Para tanto, foi necessário pré-processar os dados coletados, organizando-os de maneira a exibir registros antigos sempre antes de registros novos. Além disso, o pré-processamento incluiu renomear colunas, converter tipos e deletar instâncias com valores NaN, para viabilizar as operações.

3 Metodologia

A implementação da rede LSTM seguiu a sugestão elaborada por Jason Brownlee [2]. O autor descreve sete modelos LSTM para previsão em séries temporais, cinco dos quais univariados (vanilla, stacked, bidirecional, CNN e ConvLSTM) e dois multivariados (Multiple Input Series e Multiple Parallel Series). Nesta etapa, o objetivo foi investigar a viabilidade de aplicar esse tipo de método sobre a base que coletamos. Assim, embora tenhamos selecionado duas variáveis de interesse (temperatura máxima e temperatura mínima), o experimento de baseline foi realizado somente com uma delas (temperatura máxima). Implementamos, então, o modelo de LSTM vanilla, ou básico.

A aplicação do modelo consiste em:

- Dividir os dados em três conjuntos para treinamento, validação e teste escolhemos a proporção 70:20:10;
- Definir "janelas" de instâncias, com tamanho customizável, representado pela variável n_steps (no nosso experimento, usamos janelas de 10 valores de entrada para cada saída);
- Definir a quantidade de *units* de rede, a função de ativação, o otimizador, a métrica de erro e a quantidade de épocas.

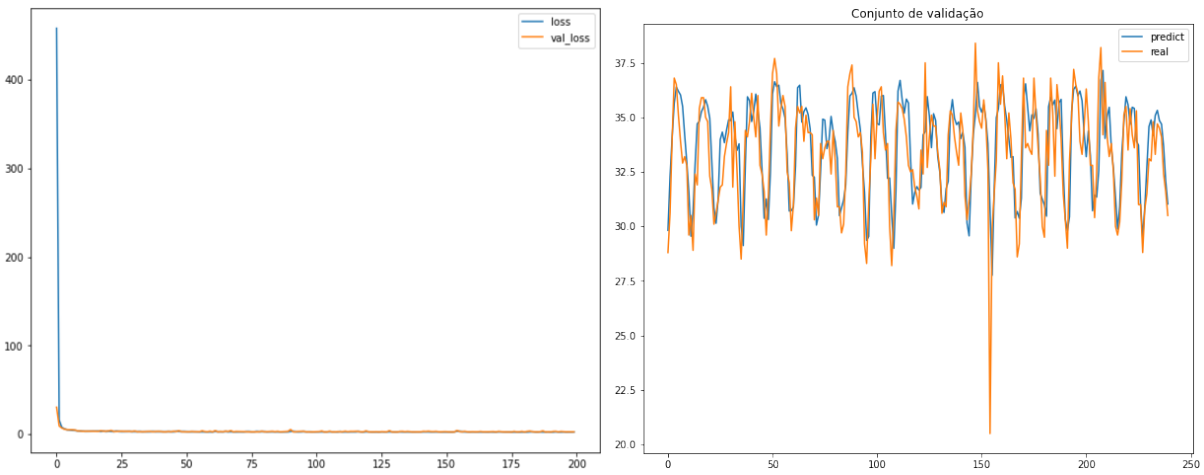
No nosso experimento, rodamos duas versões do modelo, variando a quantidade de units. Os demais parâmetros foram mantidos: ReLU como função de ativação, Adam como otimizador, erro quadrático médio (MSE) como métrica de erro e 200 épocas. A arquitetura de ambas as versões da rede consiste em duas camadas, sendo a primeira conectando a entrada com as unidades LSTM, e a segunda conectando estas unidades com um neurônio de saída. As duas versões foram treinadas sobre os dados de treino e validadas — com plotagem da evolução de loss e previsões — sobre o conjunto de validação. Por fim, rodamos e avaliamos a melhor das versões sobre o conjunto de teste.

4 Resultados

4.1 Versão 1: 50 units

A Figura 1 resume os resultados da Versão 1.

Figura 1: À esquerda, evolução da *loss* para o conjunto de treino (azul) e de validação (laranja). À direita, comparação entre as predições reais (laranja) e do modelo (Versão 1) sobre o conjunto de validação (azul).



4.2 Versão 2: 15 units

A Figura 2 resume os resultados da Versão 2. A Versão 2 mostrou valores de *loss* mais consistentes entre os conjuntos de treino e de validação; em razão disso, a aplicamos também sobre o conjunto de teste. A Figura 3 compara as previsões da Versão 2 sobre o conjunto de teste e as previsões reais.

Figura 2: À esquerda, evolução da *loss* para o conjunto de treino (azul) e de validação (laranja). À direita, comparação entre as predições reais (laranja) e do modelo (Versão 2) sobre o conjunto de validação (azul).

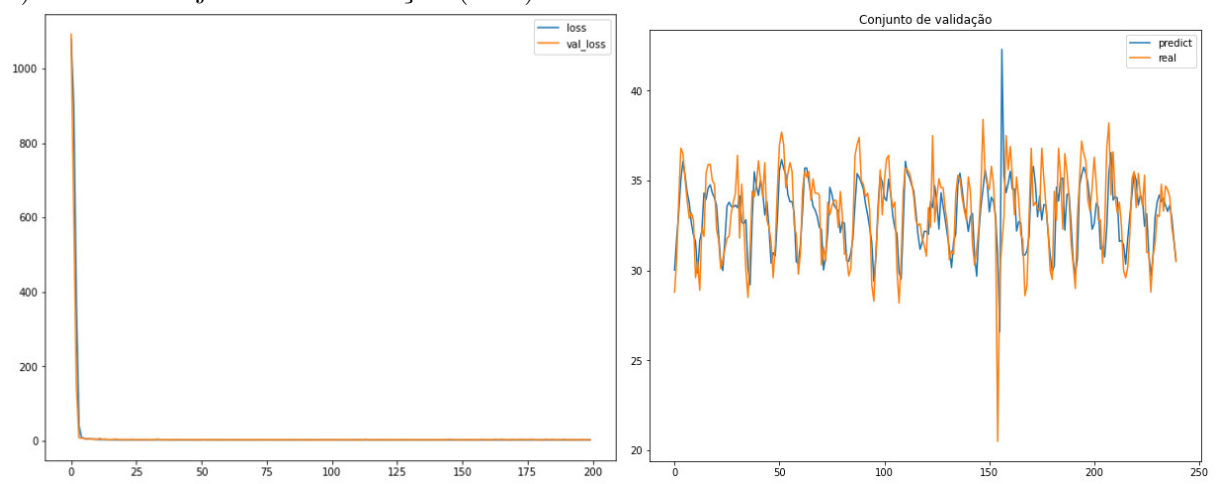
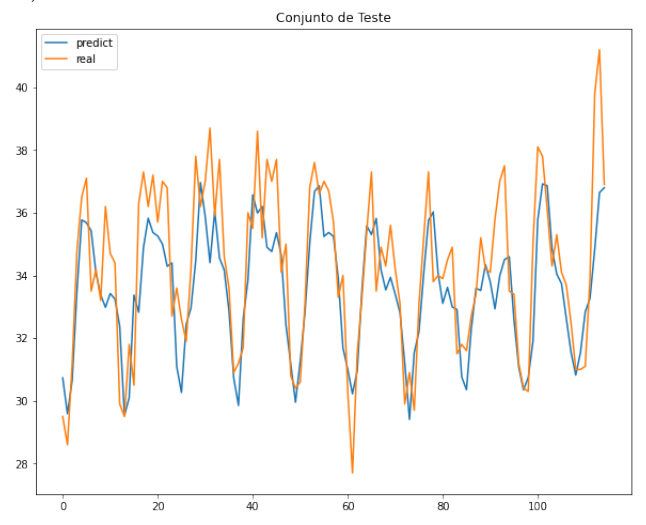


Figura 3: Comparação da Versão 2 entre as predições reais (laranja) e do modelo sobre o conjunto de teste (azul).



5 Discussão e próximos passos

Segundo nosso experimento, usar menos units-15 em vez de 50— levou a valores de loss mais consistentes. Notamos, contudo, que as duas versões do modelo performaram satisfatoriamente, o que indica a adequação dessa abordagem para realizar previsões em séries temporais. Prever valores extremos parece ser uma dificuldade do modelo.

Para a versão final do projeto, possíveis incrementos incluem: testar diferentes tamanhos de janela; explorar outras arquiteturas LSTM sobre nosso problema; implementar ao menos um modelo LSTM multivariado para previsão em séries temporais — efetuando, assim, previsões sobre nossas duas variáveis de interesse; investigar como melhorar a performance da previsão de valores extremos; avaliar a viabilidade de implementar um modelo de previsão em séries temporais baseado em Transformers.

Referências

- [1] Departamento de Engenharia de Biossistemas da Escola Superior de Agricultura "Luiz de Queiroz" (ESALQ), Universidade de São Paulo. Série de Dados Climatológicos do Campus Luiz de Queiroz de Piracicaba, SP. http://www.leb.esalq.usp.br/leb/postocon.html. 2020.
- [2] Jason Brownlee. How to Develop LSTM Models for Time Series Forecasting. https://machinelearningmastery.com/how-to-develop-lstm-models-for-time-series-forecasting/. 2020.